

2 Термические условия Дальневосточных морей

Японское море

В феврале распределение температуры поверхности моря на преобладающей части акватории было приближено к климатическому. Вместе с тем, в локальных областях южнее 41° с. ш. наблюдались отрицательные аномалии температуры поверхности моря с величинами до $-2,0^{\circ}\text{C}$. Одновременно, на северной части акватории, моря регистрировались величины аномалий до $+2,0^{\circ}\text{C}$. (рис. 2-1)

Охотское море

Весь февраль, распределение температуры поверхности моря на преобладающей части акватории характеризовалось отклонениями от нормы в пределах от $0,0^{\circ}\text{C}$ до $+1,0^{\circ}\text{C}$. На ограниченной акватории южнее 46° с. ш. зарегистрированы положительные аномалии до $+2,0^{\circ}\text{C}$. (рис. 2-2)

Берингово море

В феврале, распределение температуры поверхности моря характеризовалось положительными аномалиями на преобладающей части северо-восточного шельфа Берингова моря с величинами до $+2,6^{\circ}\text{C}$ в прибрежных районах. В полосе между меридианами 170° з. д. и 175° з. д. положительные аномалии имели величины до $+2,0^{\circ}\text{C}$ в начале месяца и $+0,6^{\circ}\text{C}$ в конце. (рис. 2-3)

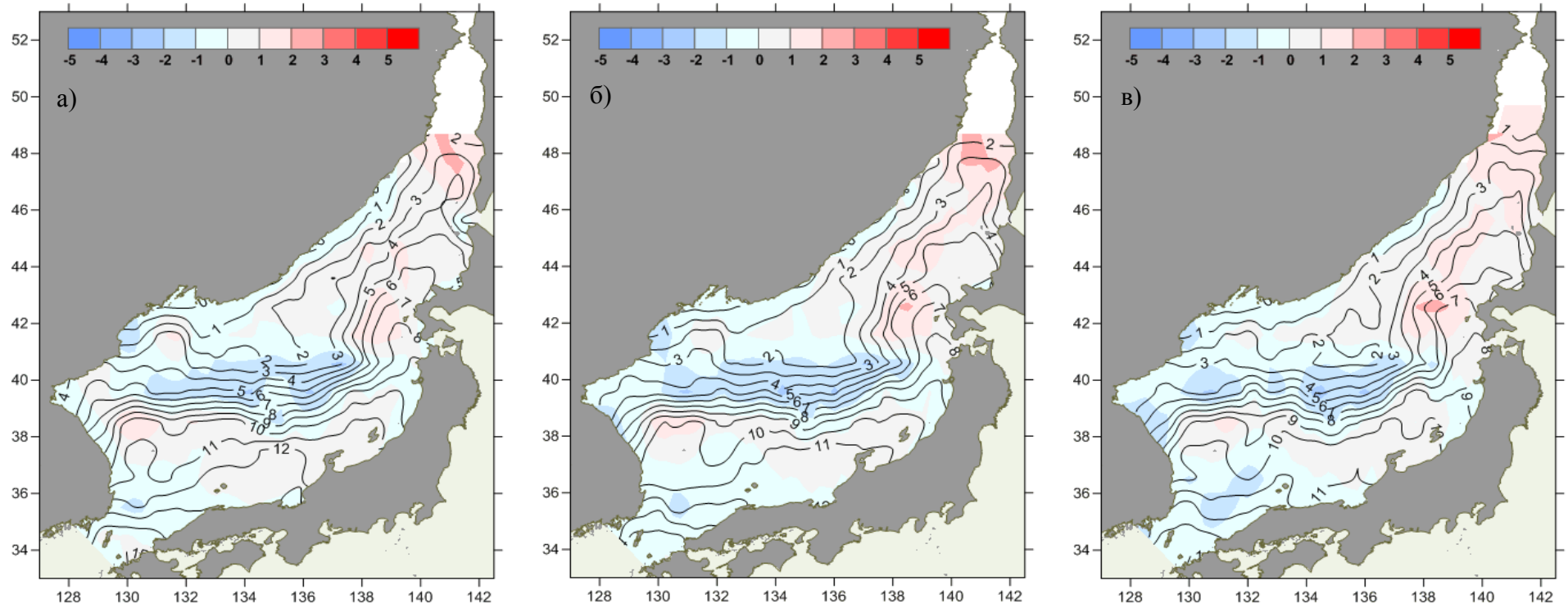


Рис. 2-1 Средняя декадная температура воды (изолинии) и её аномалия (изополосы), Японское море, декады февраля: 1 – а, 2 – б, 3 – в

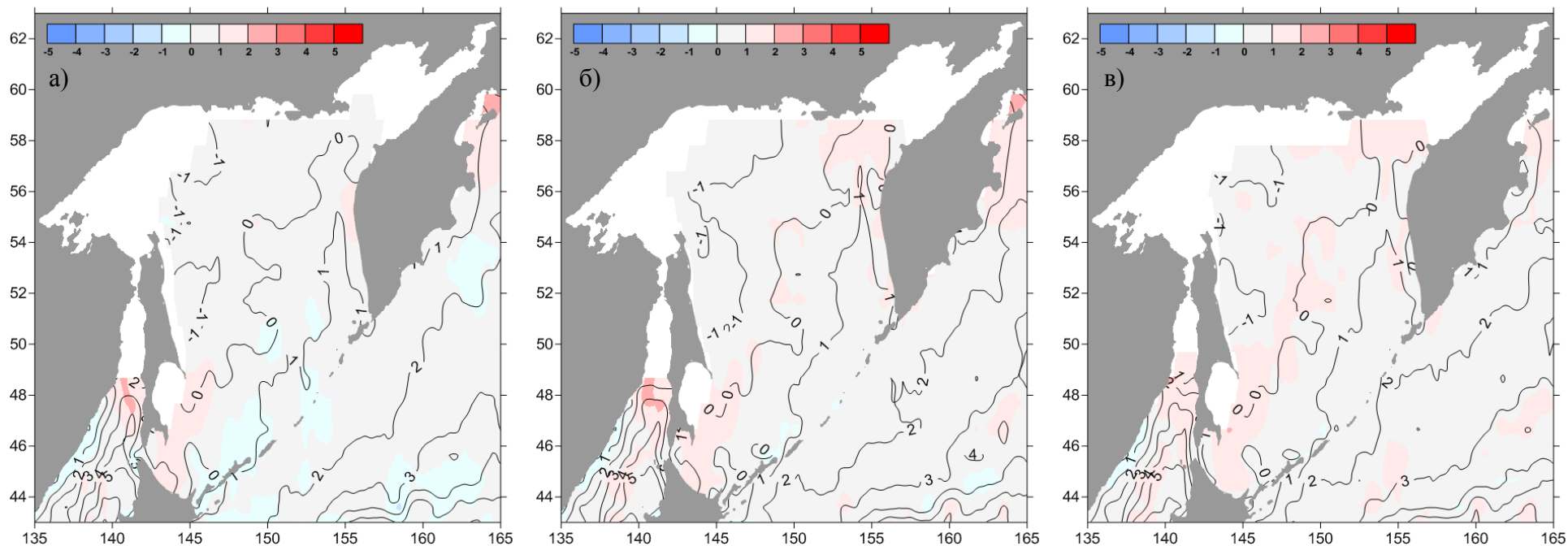


Рис. 2-2 Средняя декадная температура воды (изолинии) и её аномалия (изополосы), Охотское море, декады февраля: 1 – а, 2 – б, 3 – в

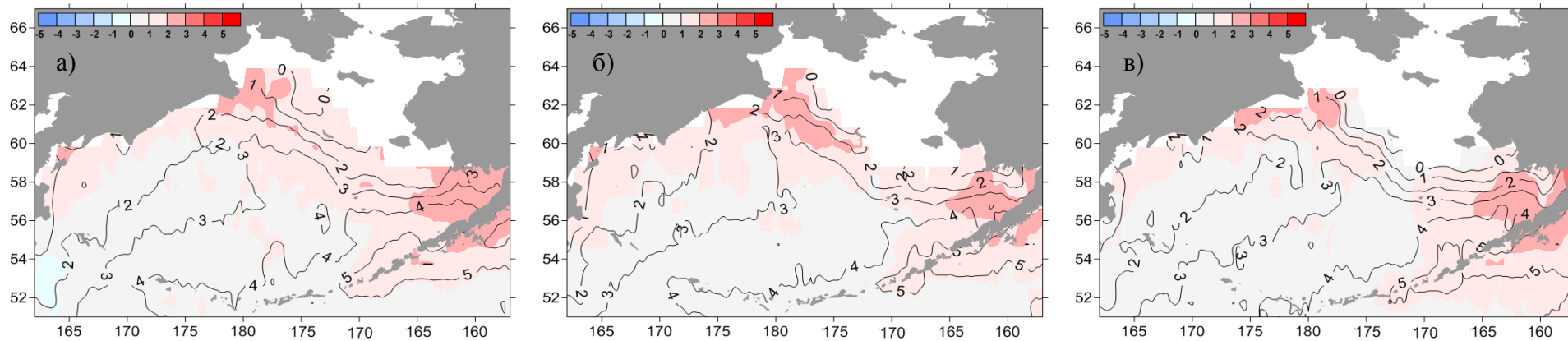


Рис. 2-3 Средняя декадная температура воды (изолинии) и её аномалия (изополосы), Берингово море, декады февраля: 1 – а, 2 – б, 3 – в